

## ارائه یک مدل تلفیقی از الگوریتم های شبیه سازی تبرید<sup>۱</sup>

### و الگوریتم ژنتیک<sup>۲</sup> برای بهینه سازی فرآیند تولید خوراک دام

مقصود امیری\*

سارا حاتمی\*\*

سید مصطفی موسوی\*\*\*

چکیده

تحقیق حاضر به تعیین ترکیب بهینه عوامل مؤثر در تولید خوراک دام پرداخته است. خوراک دام ارتباط کاملاً مستقیمی با سلامت دام دارد. با توجه به اینکه در این تحقیق از اطلاعات مسئله‌ای واقعی استفاده شده است، نتایج آن می‌تواند قابل ملاحظه باشد. متداول‌تری سطح پاسخ و فرآیند طراحی آزمایشات به کمک هم می‌توانند بطور مؤثر در مدل سازی و بهبود سیستم تولید خوراک دام که بیش از یک عامل تاثیر گذار دارد، به کار روند. بعد از شناسایی عوامل مؤثر، طراحی آزمایشات به کمک طرح مرکب مرکزی انجام می‌شود. اثر متقابل عوامل مؤثر و مستقل با روشن پیش رو بررسی و یک مدل نهایی از عوامل مستقل ارائه می‌شود. با توجه به پیوسته بودن فضای مسئله و مشکل بودن حل مسائل با توابع هدف غیرخطی

1- Simulated Annealing (SA)  
2- Genetic Algorithm (GA)

\* عضو هیات علمی دانشگاه علامه طباطبائی، mg\_amiri@yahoo.com

\*\* دانش آموخته کارشناسی ارشد مهندسی صنایع، دانشگاه آزاد اسلامی تربیت، sara.hatami83@gmail.com

مرتبه بالا، متاهیورستیکی با نام "ترکیب تبرید ژنتیک" برای حل مسئله پیشنهاد می‌شود. الگوریتم پیشنهادی به صورت موازی فضای حل را جستجو می‌کند. در ادامه برای مقایسه کارایی عملکرد الگوریتم پیشنهادی، الگوریتم دیگری با نام شبیه سازی تبرید که به صورت نقطه‌ای فضای حل را جستجو می‌کند، ارائه می‌شود. در انتها بین نتایج نهایی دو الگوریتم مقایساتی با توجه به درصد بهبود در نتایج نهایی نسبت به حل‌های اولیه انجام شده است.

واژه‌های کلیدی : طرح مرکب مرکزی، روش پیشرو، الگوریتم شبیه سازی تبرید، الگوریتم ترکیبی تبرید ژنتیک

## مقدمه

متدولوژی سطح پاسخ (RSM<sup>1</sup>)، یک روش آماری است که بر پایه مدل غیر خطی چند متغیره بنا نهاده شده است (موندرا و همکاران، ۲۰۰۶). این روش مجموعه‌ای از تکنیک‌های آماری و ریاضی مفید است که برای توسعه، بهبود و بهینه سازی فرآیندها به کار می‌رود. از کاربردهای مهم این روش می‌توان طراحی، توسعه، تنظیم و فرمول‌بندی محصولات جدید، به نحوی که در طراحی محصولات جدید بهبود حاصل گردد، را نام برد (مایرز و مونتگومری، ۱۹۹۵).

گسترده ترین کاربرد متدولوژی سطح پاسخ در صنعت، زمانی است که چندین متغیر ورودی بالقوه وجود دارد که بر ارزش‌های کارایی و مشخصه‌های کیفی محصول تاثیر می‌گذارند. ارزش کارایی یا مشخصه‌های کیفی محصول، متغیر پاسخ نامیده می‌شود و در اکثر مسائل منطبق با واقعیت، بیش از یک متغیر پاسخ وجود دارد. متغیرهای ورودی همان متغیرهای مستقل مسئله تحت بررسی می‌باشند که با توجه به پاسخ تعیین می‌شوند (مایرز و مونتگومری، ۱۹۹۵).

در بسیاری از تحقیقات مرتبط با صنعت، از متدولوژی سطح پاسخ برای تعیین ترکیب بهینه متغیرهای ورودی جهت رسیدن به مقادیر ایده‌آل متغیرهای پاسخ استفاده شده است. از جمله صنایع و مواردی که از متدولوژی سطح پاسخ برای تعیین ترکیب بهینه

اجزای سازنده تر کیب استفاده شده می توان به موارد زیر اشاره نمود: صنایع غذایی (لی و همکاران، ۲۰۰۶، سین و همکاران، ۲۰۰۶، وونگ و همکاران، ۲۰۰۳، یوسف و همکاران، ۱۹۸۸) که برای بهینه سازی فرآیند تولید آب میوه از این روش استفاده شده است. از کاربردهای این روش در صنایع تولید ساختمانی می توان به تولید سیمان (پیستا و گراییک، ۲۰۰۴) برای بررسی تاثیر فاکتورهای نسبت آب به سیمان، (کومس و کورتویس، ۲۰۰۳) میزان سختی پذیری و تقویت سیمان، (اوکتما و ارزورملو، ۲۰۰۵) توسعه یک متدولوژی مؤثر برای تعیین شرایط برش بهینه که منجر به کمترین ناهمواری سطح در فرز کاری سطح ریخته گری شود و بسیاری از کاربردهای مؤثر دیگر اشاره نمود.

از جمله تحقیقاتی که در خصوص مسائل بهینه سازی با رویکردهای مختلف انجام گرفته، می توان به موارد ذیل اشاره نمود: اوزکلیک و ارزورملو (۲۰۰۶) طی مقاله ای اثرات پارامترهای فرآیند را روی پوشش پلاستیکی با استفاده از طراحی آزمایشات و سری معتمد تاگوچی مشخص و با استفاده از شبکه های عصبی مصنوعی و ترکیب آن با الگوریتم ژنتیک سعی در کمینه نمودن مقدار تغییر شکل پوشش پلاستیکی داشته اند. ککسوی و یالسینوز (۲۰۰۶) طی مقاله ای روشی برای تحلیل چند مشخصه کیفی به صورت همزمان با استفاده از معیار میانگین مربعات خطای ارائه نموده اند و با توجه به مشکل بودن حل مسائل با توابع هدف غیرخطی مرتبه بالا یا چند بعدی، الگوریتم ژنتیک را جهت حل مسئله چند پاسخه بکار گرفته اند. شوکای و همکاران (۲۰۰۶) طی مقاله ای روش جستجوی سیمپلکس Nelder-Mead را به ترتیب با الگوریتم ژنتیک و PSO<sup>۱</sup> جهت مکان یابی جواب های بهینه عمومی، با تمرکز ویژه بر متدولوژی سطح پاسخ ترکیب نمودند. هر دو الگوریتم NM-GA<sup>۲</sup> و NM-PSO<sup>۳</sup> به سهولت در عمل اجرا شده و نیازی به محاسبه مشتق ندارند.

اوکتما و ارزورملو (۲۰۰۵) در مقاله ای بر روی توسعه یک متدولوژی مؤثر برای تعیین شرایط برش بهینه که منجر به کمترین ناهمواری سطح در فرز کاری سطح

ریخته گری شود، با استفاده از روش سطح پاسخ و توسعه الگوریتم ژنتیک تمرکز نمودند. کراجنیک (۲۰۰۵) در مقاله خود یک روش سیستماتیک برای مدل سازی عملی و بهینه سازی فرآیند تراش فلزات ارائه کرده است. طرح عوامل تراش بر اساس متداولوژی سطح پاسخ بوده که تکنیک مدل سازی رگرسیون برای برآش یک مدل آزمایشی، مورد استفاده قرار گرفته است. بهینه سازی این مدل تک هدفه با استفاده از برنامه‌ریزی غیرخطی صورت یافته است.

از کلیک و ارزورملو (۲۰۰۵) اثر کاهش تغییر شکل روی پوشش پلاستیکی نازک را با استفاده از ترکیب روش طرح آزمایش آماری با متداولوژی سطح پاسخ و الگوریتم ژنتیک مورد مطالعه قرار داده‌اند. چن (۲۰۰۵) در مورد ایجاد مدل‌های سطح پاسخ و بکارگیری روش‌های برنامه‌ریزی غیرخطی ترتیبی برای به دست آوردن شرایط فرآیند بهینه برای توفو<sup>۱</sup> (فرآورده لبنی ژاپنی)، بررسی و نتایج خود را در مقاله‌ای ارائه نموده است. سورش (۲۰۰۲)، مطالعه‌ای روی مدل پیش‌بینی زبری سطح برای ماشین کاری با استفاده از رویه سطح پاسخ انجام داده، بطوری که از ابزار برش کاریید تنگستن با روکش حلبی برای ماشین کاری قطعه‌ای از جنس فولاد نرم استفاده نموده است. در واقع یک مدل مرتبه دوم بر حسب پارامترهای ماشین کاری را برای پیش‌بینی زبری سطح با استفاده از متداولوژی سطح پاسخ توسعه داده و از الگوریتم ژنتیک برای بهینه سازی تابع هدف استفاده نموده است. پسندیده و اخوان نیاکی (۲۰۰۶) با ترکیب تابع مطلوبیت و شبیه سازی برگرفته از یک الگوریتم ژنتیک، روشی جدید برای بهینه سازی مسائل آماری چند پاسخه ارائه نمودند.

در این تحقیق سعی شده تا به بررسی تولید خوراک دام از تفاله پر تقال و بهینه سازی ترکیب تولید خوراک دام با متداولوژی سطح پاسخ پرداخته شود. مقاله به صورت زیر سازماندهی شده است:

در بخش دوم ابتدا به تشریح مساله از جمله متغیرهای مؤثر در تولید مساله و سطوح مورد بررسی پرداخته و سپس روش طراحی آزمایشات و روش انتخاب متغیرهای مستقل بیان می‌شود. در بخش سوم به معرفی الگوریتم‌های متاهیورستیک با نام

شبیه سازی تبرید و تبرید ژنتیک که تلفیق جدیدی از دو الگوریتم ژنتیک و شبیه سازی تبرید است، پرداخته شده است. در بخش چهارم تجزیه و تحلیل حاصل از الگوریتم های پیشنهادی برای حل مسئله نشان داده شده است و در بخش پنجم نتایج و پیشنهادات آتی ذکر می شود.

## طراحی آزمایشات و ارائه مدلی از متغیرهای مستقل

### معرفی عوامل مؤثر

هدف از انجام این پروژه، مطالعه، بررسی و تجزیه و تحلیل فرآیند تولید خوراک دام از تفاله پرتقال به منظور تنظیم متغیرهای ورودی تأثیرگذار بر کیفیت محصولات این فرآیند در حین تولید است. بررسی عوامل مؤثر بر تولید خوراک دام از نظر اقتصادی اهمیت زیادی خواهد داشت. در نتیجه تعیین میزان دقیق آنها در تولید بسیار مهم است و هرگونه کوتاهی و عدم دقیق در میزان عوامل مؤثر در تولید اثر مستقیمی در کیفیت محصول داشته و منجر به کیفیت نامرغوب محصول تولیدی شده و باعث ضرر اقتصادی می شود.

متغیرهای ورودی تأثیرگذار بر کیفیت محصولات، با توجه به نظر سنجی به عمل آمده از مهندسین فرآیند شامل موارد زیر است:

- رطوبت تفاله ورودی (X1)
- دمای خشک کن (X2)
- درصد آهک اضافه شده (X3)

### رطوبت تفاله

رطوبت تفاله ورودی که اغلب اوقات حدود ۸۰٪ است، نتیجه آبگیری مناسب پرتقال می باشد که این رطوبت گاهی اوقات بیشتر و یا کمتر از ۸۰٪ می شود. افزایش بیش از حد رطوبت تفاله ورودی باعث عدم کارایی خشک کن، رطوبت بالای خروجی محصول تولید شده و سیاه شدن سطحی تفاله به علت سوختن سریع آن در مقابل رطوبت بالا می شود و رطوبت پایین نیز موجب سوختن تفاله و از دست دادن

مواد مغذی خوراک می گردد.

### دماهی خشک کن

دماهی خشک کن باید در حد معقولی باشد. دمای بسیار زیاد منجر به سوختن تفاله‌ها و مواد مغذی خوراک می‌شود و دمای پایین موجب می‌شود تا رطوبت خروجی در خوراک تولید شده بیش از حد معمول شود و موجب افزایش رشد قارچ یا باکتری در خوراک گردد.

### درصد آهک اضافه شده

میزان مناسب آهک هیدراته ( $\text{Ca(OH}_2\text{)}$ ) اضافه شده به تفاله‌ها موجب می‌شود تا رطوبت پخش شده در تمام تفاله تا اندازه‌ای به وسیله آهک گرفته شود و در حقیقت نقش کاهنده رطوبت تفاله‌ها و انتقال آنها به سطح را دارد.

### معرفی متغیر پاسخ

متغیر پاسخ باید بگونه‌ای تعریف شود که اطلاعات و خصوصیات مهمی از فرآیند مورد بررسی را در بر گیرد، بنابراین در این تحقیق با توجه به تعریف مسئله، متغیرهای پاسخ به صورت زیر معرفی می‌شوند:

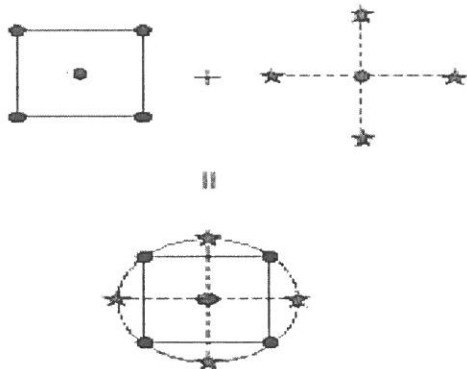
رطوبت خوراک دام تولیدی (y1)

وزن خوراک دام تولید شده (y2)

### طراحی آزمایشات

برای طراحی آزمایشات از طرح مرکزی باکس - ویلسون (مایرز و مونتگومری، ۱۹۹۵) استفاده شده است. این طرح شامل طرح عاملی یا عاملی کسری مندرج با نقاط مرکزی است. یعنی افزایش با گروهی از نقاط ستاره‌ای که اجازه تخمین انحناء را می‌دهند. اگر فاصله از مرکز فضای طرح برای یک نقطه عاملی  $1 \pm \alpha$  واحد برای هر عامل باشد، فاصله از مرکز فضای طرح برای یک نقطه ستاره‌ای  $\alpha$  است، بطوری که  $|1| > \alpha$  باشد. تعیین مقدار  $\alpha$  به مشخصات معین مطلوب برای طرح و تعداد عوامل مورد بحث بستگی دارد. بطور مشابه، تعداد اجراهای نقطه مرکزی

که طرح شامل آنهاست نیز به مشخصات معین مورد نیاز برای طرح بستگی دارد.  
شکل ۱ یک طرح مرکب مرکزی با دو عامل را نشان می‌دهد.



شکل ۱. ایجاد یک طرح مرکب مرکزی برای دو عامل

یک طرح مرکب مرکزی همیشه شامل دو برابر نقاط ستاره‌ای بیشتر از عوامل موجود در طرح است. نقاط ستاره‌ای مقادیر کراندار جدید (پایین و بالا) برای هر عوامل در طرح را نشان می‌دهند. با توجه به اینکه طرح عاملی در نظر گرفته شده یک طرح کامل است، مقادیر  $\alpha$  به عنوان تابعی از تعداد عوامل به صورت زیر محاسبه می‌شود:

$$\alpha = [2^k]^{1/4} \quad (1)$$

در این رابطه  $k$  تعداد عوامل است، لذا مقدار  $\alpha$  برای مسئله تحت بررسی برابر با ۱,۶۸۱۷ می‌شود. در جدول ۱، عوامل و سطوح مورد نظر نشان داده شده است و آزمایشات برای ترکیب عوامل و سطوح گوناگون با استفاده از طرح مرکب مرکزی در جدول ۲ آمده است.

## جدول ۱. سطوح عوامل

ردیف	عامل	سطح اول	سطح دوم
۱	رطوبت تفاله ورودی	۷۶٪	۹۰٪
۲	دمای خشک کن	۴۸۰°C	۶۰۰°C
۳	درصد آهک اضافه شده	۰,۷٪	۱,۵٪

## جدول ۲. اندازه های کد شده و کد نشده متغیر های آزمایشی

عامل \ مقدار کد شده	-1.6817	-1	0	1	1.6817
رطوبت تفاله ورودی (%)	71.22	76	83	90	94.77
(Co) دمای خشک کن	439.098	480	540	600	640.902
درصد آهک اضافه شده (%)	0.4273	0.7	1.1	1.5	1.7727

مطابق آنچه که در جدول ۲ مشاهده می شود، فاصله از مرکز فضای طرح برای یک نقطه ستاره ای  $\pm 1.6817$  در نظر گرفته شده است و مقادیر اصلی عوامل که متناسب با این نقطه ستاره ای می باشند، از فرمول زیر تعیین شده است.

$$x_i = \frac{X_i - (\frac{UB + LB}{2})}{\frac{(UB - LB)}{2}} \quad (2)$$

در این رابطه UB و LB به ترتیب حد بالا و حد پایین عوامل است که با توجه به جدول ۱ تعیین می شوند و  $x_i$  مقدار کد شده معادل با سطوح عوامل است که در اینجا شامل اعداد مجموعه  $\{\pm 1.6817, \pm 1.0\}$  می باشند. مقادیر واقعی سطوح عوامل نیز با  $X_i$  نشان داده می شود که با توجه به هر مقدار از  $x_i$  به دست می آید. ارزش خروجی ها (متغیر های پاسخ) با اجرای آزمایشات برای حالت های ترکیبی سطوح عوامل در جدول ۳ نشان داده شده است.

## تعیین متغیر های مستقل

برای تعیین متغیر های مستقل از بین متغیر های موجود در مدل از روش های متعددی

استفاده می شود. از آن جمله می توان روش های زیر را نام برد:

MSE

$R^2$

روش پیشرو (Forward)

جدول ۳. سطح پاسخ طرح مرکب مرکزی و داده های تجربی

RUN	X1	X2	X3	Y1	Y2
1	-1	-1	-1	6.8	9.1
2	-1	1	1	5.3	8.5
3	1	-1	1	7.6	10.1
4	1	1	-1	7.3	9.7
5	0	0	0	6.1	9.5
6	0	0	0	5.9	9.6
7	-1	-1	1	6.5	9
8	-1	1	-1	5.6	8.6
9	1	-1	-1	8	10.4
10	1	1	1	6.9	9.3
11	0	0	0	6.2	9.4
12	0	0	0	6	9.5
13	-1.6817	0	0	5.4	8.7
14	1.6817	0	0	6.7	9.7
15	0	-1.6817	0	6.9	9.9
16	0	1.6817	0	5.4	9.3
17	0	0	-1.6817	6.3	9.8
18	0	0	1.6817	5.7	9.3
19	0	0	0	5.9	9.6
20	0	0	0	6	9.5

در این بررسی از روش پیشرو برای انتخاب متغیرهای مستقل استفاده شده است که مراحل انجام این روش به شرح زیر است.

قدم (۱): مشخص کردن یک مقدار حداقل و حداکثر برای پذیرش یا رد متغیر وارد شده به مدل که آنها را به ترتیب  $F_{out}$  و  $Fin$  می‌نامند.

قدم (۲): تمام الگوهای شامل یک متغیر مستقل را برازش کرده و ارزش‌های  $SSR(x_k)$  و  $SSE(x_k)$  هر الگو محاسبه می‌شود. ( $SSE(x_k)$  مجموع مربعات خطای وجود متغیر  $x_k$  و  $SSR(x_k)$  میزان کاهش خطای وقتی متغیر  $x_k$  به مدل اضافه شود را نشان می‌دهند).

سپس مقادیر  $F_k$  با توجه به فرمول زیر برای هر الگو محاسبه می‌شود.

$$MSE(x_k) = \frac{SSE(x_k)}{n-2} \quad (3)$$

$$F_k = \frac{SSR(x_k)}{MSE(x_k)} \quad k=1,2,\dots,p \quad (4)$$

در این رابطه  $P$  تعداد متغیرهای ورودی است که در مسئله مورد بررسی برابر سه در نظر گرفته شده است و  $n$  تعداد داده‌های آماری می‌باشد. اگر بزرگترین مقدار  $F_k$  از یک مقدار از قبل تعیین شده ( $Fin$ ) بزرگتر باشد، آنگاه آن متغیری که دارای بزرگترین مقدار  $F_k$  بوده به مدل اضافه می‌شود و در غیر اینصورت برنامه بدون هیچ متغیر مستقل به پایان می‌رسد.

قدم (۳): فرض کنید  $x_s$  متغیر انتخاب شده در مرحله دوم باشد. تمام الگوهای شامل دو متغیر مستقل که یکی از آنها  $x_s$  می‌باشد را برازش کرده و بعد از محاسبه ارزش‌های  $SSR(x_k, x_s)$  و  $SSE(x_k, x_s)$  برای هر یک آماره‌های زیر محاسبه می‌شوند:

$$SSR(x_k | x_s) = SSR(x_k, x_s) - SSR(x_k) \quad (5)$$

$$MSE(x_k, x_s) = \frac{SSE(x_k, x_s)}{n-3} \quad (6)$$

$$F_k = \frac{SSR(x_k | x_s)}{MSE(x_k, x_s)} \quad k \neq s \quad (7)$$

اگر مقدار  $F_k$  آن از مقدار از قبل تعیین شده  $Fin$  بزرگتر باشد، ترکیب دو متغیر

مستقلی که دارای بزرگترین  $F_k$  هستند، کاندیدای اضافه شدن به الگو می باشند.

قدم (۴) : فرض کنید در مرحله سوم متغیر  $x_t$  انتخاب شده باشد. حال روش پیشرو به دنبال این است که آیا می توان هر یک از متغیرهای موجود در الگو (به غیر از  $x_t$ ) را حذف کرد. برای تصمیم گیری مقادیر  $F_k$  از فرمول زیر تعیین می شوند. توجه شود که در این قدم تنها به متغیرهای انتخاب شده برای مدل در مراحل قبل توجه می شود و به سایر متغیرها اهمیتی داده نمی شود.

$$F_k = \frac{SSR(x_k | x_t)}{MSE(x_k, x_t)} \quad k \neq t \quad (8)$$

اگر کوچکترین مقدار  $F_k$  از یک مقدار از قبل تعیین شده ( $F_{out}$ ) کوچکتر باشد، آنگاه آن متغیری که دارای کوچکترین مقدار  $F_k$  بوده از مدل حذف می شود. در غیر اینصورت بدون حذف متغیر مستقل، الگوریتم به دنبال متغیر مستقل بعدی جهت اضافه شدن به مدل می گردد.

قدم (۵) : این کار را تا آنجایی ادامه دهید که هیچ یک از متغیرهای مستقل نه بتوانند اضافه و نه حذف شوند.

مدل ارائه شده از الگوریتم پیشرو با نرم افزار SAS، به صورت زیر است:

$$y_1 = 5.9947 + 0.5701x_1 - 0.4629x_2 - 0.1764x_3 + 0.1553x_1^2 + 0.1907x_2^2 + 0.1376x_3^2 + 0.125x_1x_2 \\ + 0.125x_1x_3 \quad (9)$$

$$y_2 = 9.519 + 0.438x_1 - 0.2815x_2 - 0.1274x_3 + 0.1273x_1^2 - 0.0625x_1x_2 - 0.0625x_1x_3 \quad (10)$$

با توجه به اینکه مساله مورد نظر دارای دو تابع هدف است و حل این مسئله مشابه با مسائل چند هدفه است، لذا از روش ترکیب اهداف از طریق وزن دهی برای حل استفاده شده است.

$$MAX : Z = \frac{\lambda \times y_1 + (1-\lambda) \times y_2}{\sqrt{y_1^2 + y_2^2}} \quad (11)$$

برای تعیین وزن های تخصیص داده شده به پاسخ ها (رطوبت خوراک دام تولیدی، وزن خوراک دام تولید شده) راه های متعددی از جمله تحلیل سلسه مراتب گروهی و نظر خواهی از متخصصان به صورت مستقیم وجود دارد. با توجه به اینکه از روش های متاهیورستیک برای حل مدل استفاده شده است، لذا نتایج تحلیلی بر روی

مقداری λ از بازه‌های مختلف انجام می‌شود. مخرج کسر جهت بدون بعد کردن مسئله قرار داده شده است.

### الگوریتم های پیشنهادی

در این بخش از الگوریتم تلفیقی ژنتیک و شبیه سازی تبرید برای حل مساله مورد نظر استفاده شده است. برای نشان دادن عملکرد این الگوریتم، نتایج با الگوریتم شبیه سازی تبرید مقایسه می‌شود.

#### الگوریتم ترکیبی شبیه سازی تبرید و ژنتیک (GA-SA)<sup>۱</sup>

الگوریتم ژنتیک در سال ۱۹۷۰ توسط هلند دیجونگ و گلدبرگ ارائه شده است. این الگوریتم برای بهینه سازی مسایل پیچیده با فضای جستجوی ناشناخته مناسب است. ایده اصلی این الگوریتم از نظریه تکاملی داروین گرفته شده است. بر طبق نظریه داروین آن دسته از صفات طبیعی که با قوانین طبیعی سازگاری بیشتری دارند، شانس بقای بیشتری خواهند داشت. بطور خلاصه می‌توان گفت در هر نسل به گونه‌های بهتر فرصت تولید مثل داده شده و گونه‌های دارای خصوصیات نامطلوب، به تدریج از بین می‌روند. در نتیجه با گذشت زمان افراد نسل‌های مختلف تکامل می‌یابند.

در الگوریتم ژنتیک باید ابتدا مسئله از فضای واقعی (فتوتیپ) به فضای ژنتوتیپ کد شود، بگونه‌ای که بین فضای فتوتیپ و ژنتوتیپ یک تناظر یک به یک وجود داشته باشد. مقداری کد شده مسئله در ژن‌ها قرار می‌گیرد و مجموعه ژن‌ها کروموزوم را تشکیل می‌دهند. پس کروموزوم‌ها یک جواب قبل قبول برای مسئله می‌باشند که این جواب‌ها طبق الگوریتم بگونه‌ای پیش می‌روند که به یک جواب بهینه یا نزدیک بهینه برستند.

در سال ۱۹۸۳ روشی مبتنی بر رویه ساخت کریستال‌های تا حد امکان قوی یا پایدار با نام شبیه سازی تبرید ابداع شد. در این رویه ساخت ابتدا فلز را تا دمای زیادی حرارت داده و سپس به صورت کند سرد می‌کنند که این سرعت کم در سرد

- کردن باعث می شود تا ذرات فرصت قرارگیری در محل مناسب را پیدا کنند و این کار باعث افزایش کیفیت و پایداری فلز می شود.
- حال به طراحی یک الگوریتم ترکیبی از دو متاهیورستیک ذکر شده پرداخته می شود که ساختار الگوریتم ژنتیک تبرید پیشنهادی آن به صورت زیر است:
۱. نمایش حل ها: شیوه کد کردن یک حل در فضای مسئله برای الگوریتم
  ۲. مقدار دهی اولیه: I) ورود پارامترهایی از قبیل اندازه جمعیت اولیه (np)، درصد عملگرهای جهش (pm) و تقاطع (pc)، درصد تولید مجدد(pr)، دمای اولیه(T<sub>0</sub>)، دمای نهایی(T<sub>f</sub>)، تعداد مراحل لازم برای رسیدن از دمای اولیه به دمای نهایی (N)، حداکثر تعداد تکرار در یک دما Max-IT II) تولید جمعیت اولیه
  ۳. الگوی کاهش دما: استفاده از یک الگو برای کاهش دما از بین الگوهای موجود در ادبیات
  ۴. جستجوی همسایگی: تعریف چگونگی تولید حل در همسایگی و اجرای آن روی هر کروموزوم در جمعیت
  ۵. ارزیابی: تعیین تابع برازنده ای که حل در جمعیت اولیه و هر حل در همسایگی تولید شده
  ۶. شماتیک انتخاب: انتخاب بهترین حل بین هر حل در جمعیت و حل در همسایگی متناظر با آن، با قوانین الگوریتم شبیه سازی تبرید (metro polis)
  ۷. عملگر تقاطع و جهش: انتخاب  $[2/np \times (pc+pm)]$  جفت الگو از جمعیت جاری و انجام عملگر تقاطع روی الگوها و انجام عملگر جهش با احتمال ۰,۳، روی هر حل حاصل از عملگر تقاطع
  ۸. ایجاد نسل جدید: انتخاب  $pr \times np$  حل از بین حل های اولیه با بالاترین مقدار برازنده ای و  $np \times (pc+pm)$  حل تولید شده توسط عملگرها
  ۹. به روز کردن آرشیو: انتخاب یک حل به آرشیو با بالاترین تابع برازنده ای به عنوان بهترین حل در نسل جاری
  ۱۰. شرط توقف: الگوریتم با رسیدن به شرط توقف به اتمام می رسد در غیر

اینصورت به قدم ۳ باز می‌گردد. شرط توقف در اینجا رسیدن به دمای نهایی است. (Tf)

### الگوریتم شبیه سازی تبرید (SA):

شبیه کد اجرایی برای مساله توسط الگوریتم شبیه سازی تبرید به شرح زیر می‌باشد:

۱. نمایش حل‌ها: شیوه کد کردن یک حل در فضای مسئله
۲. تنظیم پارامترها (demای اولیه، دمای نهایی، حداکثر تعداد تکرار در یک دما، الگوی کاهش دما)

۳. تولید جواب اولیه به صورت تصادفی

۴. ارزیابی جواب تولید شده توسطتابع برازنده‌گی

۵. تولید یک حل در همسایگی و ارزیابی تابع برازنده‌گی

۶. اگر تابع برازنده‌گی حل در همسایگی بهتر بود به عنوان جواب پایه و اولیه پذیرفته می‌شود، در غیر این صورت برای پذیرش جواب‌های بدتر از جواب فعلی (اولیه) از معیار metro polis استفاده شود.

۷. مقدار دما با توجه به الگوی انتخابی کاهش می‌یابد. اگر دما کمتر از دمای نهایی (Tf) باشد الگوریتم متوقف می‌شود. در غیر این صورت به قدم ۴ باز می‌گردد.

### جزئیات ساختار الگوریتم‌های پیشنهادی

#### نمایش حل‌ها

حل‌ها با توجه به فضای مسئله توسط کروموزوم‌هایی با ژن‌های دارای محتویات مقادیر در بازه [-1,1] نشان داده می‌شوند. سه متغیر ورودی وجود دارد، لذا کروموزومی با سه ژن وجود دارد که محتویات هر ژن شامل اعدادی در بازه [-1,1] خواهد بود. نمونه‌ای از کروموزوم تطبیق داده شده با مسئله تحت بررسی در شکل زیر نشان داده شده است:

[0.76 - 0.29 0.35]

## دمای اولیه

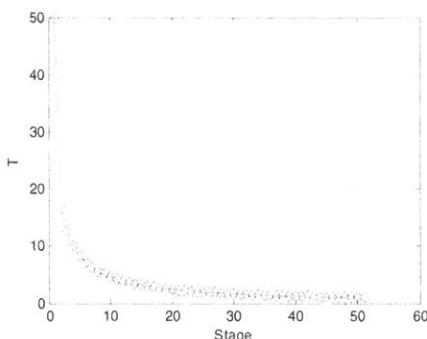
با توجه به تاثیر زیادی که تنظیم پارامترها در کیفیت جواب نهایی خواهند داشت به صورت زیر اقدام به تنظیم پارامترها می شود. یکی از مهم‌ترین پارامترها که در ساختار الگوریتم وجود دارد و نقش به سزایی در قبول و رد حل در همسایگی در تابع بولتزمان ۱ دارد، مقدار دمای اولیه است. لذا دمای اولیه از فرمول زیر به دست می آید:

$$T_0 = -\Delta E / \ln(p) \quad (12)$$

مقدار احتمال( $p$ ) در حدود (0.01,0.05) در نظر گرفته می شود که به عنوان مثال احتمال پذیرش حل را 0.01 در نظر می گیرد.  $\Delta E$  تفاوت در مقدار برازنده‌گی حل اولیه و حل در همسایگی است. دمای نهایی مقدار حداقل یعنی مقدار یک در نظر گرفته می شود.

## الگوی کاهش دما

الگوی کاهش دمایی که برای متاهیورستیک‌های پیشنهادی انتخاب شده است به صورت نمایی می باشد که نحوه کاهش دما در شکل ۳ نشان داده شده است. کاهش دما با توجه به فرمول‌های (۱۳)، (۱۴) و (۱۵) انجام می شود. از الگوهای دیگری همچون خطی و هذلولی هم می توان استفاده و نتایج را برای هر یک از الگوها مشاهده کرد.



شکل ۲. الگوی کاهش دمای نمایی

$$A = (T_0 - T_f) \left( \frac{N+1}{N} \right) \quad (13)$$

$$B = T_0 - A \quad (14)$$

$$T^i = \left( \frac{A}{1+i} \right) + B \quad (15)$$

از مزیت الگوی نمایی این است که چون الگوریتم با بدترین حل‌ها (حل‌های تصادفی) شروع می‌شود و با گذشت زمان حل‌ها با احتمال زیاد بهبود می‌یابند، ولی احتمال بهبود در حل‌ها با گذشت زمان طولانی‌تری کم می‌شود لذا دما متناسب با الگوریتم کاهش داده می‌شود. یعنی دمایا ابتدا به یکباره با گام زیاد کم ولی بعد از چند مرحله، گام کاهش دما کوچک می‌شود و دما به میزان کمی کاهش می‌یابد و این خصوصیت در الگوی خطی وجود ندارد (در الگوی خطی دما همیشه با یک گام یکسان مثلاً ۰.۹ کاهش می‌یابد).

### جستجوی همسایگی

برای تولید حل جدید در همسایگی به صورت زیر عمل می‌شود: ابتدا برای هر ژن یک عدد تصادفی در بازه  $[0,1]$  تولید می‌شود. اگر عدد داخل ژن بزرگتر از صفر بود، عدد تصادفی را از عدد داخل ژن کم کرده و اگر عدد داخل ژن کوچکتر از صفر بود، عدد تصادفی با عدد داخل ژن جمع می‌شود. با این روش خروج از فضای مسئله اتفاق نیافتداده و با حل‌های غیر قابل قبول مواجه نمی‌شود.

### ارزیابی

برای ارزیابی کروموزوم‌ها از تابع برازنده‌گی زیر استفاده می‌شود:

$$MAX (Z) = \frac{\lambda \times y_1 + (1-\lambda) \times y_2}{\sqrt{y_1^2 + y_2^2}} \quad (16)$$

### شماتیک انتخاب

برای انتخاب بهترین حل از بین حل اولیه در جمعیت و حل در همسایگی آن به صورت زیر عمل می‌شود: اگر مقدار تابع برازنده‌گی حل در همسایگی بزرگتر

باشد، به عنوان حل جدید انتخاب و در غیر این صورت مقدار تابع بولتزمان (معیار metro polis) با فرمول زیر محاسبه می شود و با توجه به عدد تصادفی تولید شده در بازه  $[0,1]$ ، اگر مقدار عدد تصادفی کوچکتر از مقدار محاسبه شده برای بولتزمان باشد، حل در همسایگی را قبول و در غیر این صورت پذیرفته نمی شود.

$$Boltzman = \frac{EXP(Z_0 - Z_1)}{T} \quad (17)$$

که  $Z_0, Z_1$  به ترتیب مقادیر تابع برازنده‌گی حل در همسایگی و حل اولیه و  $T$  مقدار دما در آن مرحله می‌باشد.

### عملگر تقاطع و جهش

برای انجام عملگر تقاطع نیاز به دو الگو است که الگو ها به صورت تصادفی از جمعیت اولیه انتخاب می‌شوند. از ماسک برای تولید کروموزوم‌های جدید استفاده می‌شود. ابتدا یک کروموزوم به نام ماسک و هم سایز با کروموزوم‌های در جمعیت تولید و برای محتويات ژن‌ها مقادیر ، یا 1 تولید می‌شوند. سپس اگر عدد داخل ژن ماسک یک بود از ژن الگوی انتخابی اول در داخل کروموزوم فرزند استفاده و اگر عدد داخل آن صفر بود از ژن الگوی انتخابی دوم در داخل کروموزوم فرزند استفاده می‌شود و برای کروموزوم فرزند دوم حالت عکس انجام می‌شود. در شکل ۴ چگونگی اجرای این عملگر با مثالی نشان داده شده است.

Pattern 1:	0.72	-0.35	-0.21	-0.88	0.10	0.19
Pattern 2:	-0.25	0.61	0.18	-0.36	0.94	0.49
MASK:	1	1	0	0	1	0

Offspring 1:	0.72	-0.35	-0.36	0.10	0.49
Offspring 2:	0.61	-0.21	-0.88	0.94	0.19

شکل ۳: عملگر ماسک

بعد از انجام عملگر تقاطع برای هر کروموزوم تولید شده، یک عدد تصادفی در بازه  $[0,1]$  تولید و اگر این عدد تصادفی کمتر از 0.3 بود عملگر جهش روی آن اعمال

می‌شود. برای اجرای عملگر جهش جای دو ژن در کروموزوم انتخابی عوض می‌شود.

### تجزیه و تحلیل نتایج

با توجه به اینکه روش‌های متاهیورستیک، حالت تصادفی دارند لذا مسئله تحت بررسی ۲۰ بار با هر الگوریتم اجرا می‌شود تا بتوان به ثباتی برای عملکرد هیورستیک‌ها دست یافت. همانطور که قبلًا هم ذکر شد، با توجه به نامعلوم بودن وزن هر یک از متغیرهای خروجی (پاسخ) در تابع برازنده‌گی، مقادیر وزن یا  $\lambda$  برابر ۰,۵ و ۰,۷۵ در نظر گرفته می‌شود و نتایج الگوریتم‌ها با هر یک از وزن‌های ۰,۲۵ و ۰,۵۰ در نتایج اجرای الگوریتم شبیه سازی تبرید در جدول ۴ و تعریف شده به دست می‌آید. نتایج اجرای الگوریتم شبیه سازی تبرید در جدول ۴ و الگوریتم تبرید ژنتیک در جدول ۵ نشان داده شده است. نتایج با مثال‌هایی بیان می‌شوند:

- اثر  $\lambda$  در نتایج الگوریتم‌ها: برای نشان دادن اثر  $\lambda$  یک حل تصادفی به صورت [۱,۱۰۴۱، ۰,۵۹۷۹، ۰,۲۳۷۳، ۰,۰] در نظر گرفته می‌شود. مقدار تابع برازنده‌گی با مقدار  $\lambda=0,25$  برابر ۰,۷۶۷۹، با  $\lambda=0,5$  برابر ۰,۶۸۹۵ و با  $\lambda=0,75$  برابر ۰,۱۱۱۱ به دست می‌آید. مقادیر بزرگ  $\lambda$  جهت جستجو را به سمت  $y_1$  هدایت می‌کند و با توجه به اینکه مقدار  $y_1$  در مسئله تحت بررسی همیشه کوچکتر از مقدار  $y_2$  است، لذا با افزایش وزن، مقدار تابع برازنده‌گی کاهش می‌یابد. برای کروموزوم ذکر شده مقادیر واقعی عوامل به صورت [۱,۱۴۲، ۰,۶۶، ۰,۵۷۵، ۰,۸۷۴] است.

جدول ۴. نتایج ۲۰ اجرای الگوریتم شبیه سازی تبرید  
تابع برآزنده‌گی بهترین حل های در آرشیو(I) و تابع برآزنده‌گی حل اولیه (II) و درصد  
بهبود حل نهایی نسبت به حل اولیه (III)

نام نیم سازی بُرْ	$\lambda=0.25$			$\lambda=0.5$			$\lambda=0.75$		
	I	II	III	I	II	III	I	II	III
0.7641	0.7618	0.0030	0.6943	0.6909	0.0049	0.6021	0.6005	0.0027	
0.7681	0.7659	0.0029	0.6906	0.6890	0.0023	0.6184	0.6131	0.0086	
0.7679	0.7656	0.0030	0.6865	0.6861	0.0006	0.6188	0.6138	0.0081	
0.7638	0.7624	0.0018	0.6909	0.6902	0.0010	0.6239	0.6185	0.0087	
0.7676	0.7656	0.0026	0.6928	0.6888	0.0058	0.6267	0.6165	0.0165	
0.7646	0.7601	0.0059	0.6941	0.6935	0.0009	0.6346	0.6035	0.0515	
0.7703	0.7651	0.0068	0.6914	0.6886	0.0041	0.6251	0.6185	0.0107	
0.7688	0.7687	0.0001	0.6947	0.6928	0.0027	0.6178	0.6069	0.0180	
0.7643	0.7631	0.0016	0.6936	0.6920	0.0023	0.6155	0.6060	0.0157	
0.7682	0.7676	0.0008	0.6923	0.6903	0.0029	0.6345	0.6249	0.0154	
0.7710	0.7673	0.0048	0.6914	0.6899	0.0022	0.6131	0.6087	0.0072	
0.7675	0.7617	0.0076	0.6910	0.6887	0.0033	0.6225	0.6086	0.0228	
0.7662	0.7661	0.0001	0.6968	0.6942	0.0037	0.6136	0.6132	0.0007	
0.7679	0.7679	0	0.6897	0.6874	0.0033	0.6212	0.6048	0.0271	
0.7675	0.7654	0.0027	0.6957	0.6894	0.0091	0.6180	0.6109	0.0116	
0.7685	0.7673	0.0016	0.6962	0.6898	0.0093	0.6189	0.6099	0.0148	
0.7678	0.7634	0.0058	0.6930	0.6915	0.0022	0.6227	0.6141	0.0140	
0.7678	0.7625	0.0070	0.6922	0.6900	0.0032	0.6156	0.6079	0.0127	
0.7701	0.7676	0.0033	0.6901	0.6863	0.0055	0.6312	0.6251	0.0098	
0.7660	0.7640	0.0026	0.6943	0.6883	0.0087	0.6142	0.6101	0.0067	
overall	0.7674	0.0032	0.6926		0.0039	0.6204		0.0142	

-۲ مقایسه بهترین حل های SA با SA-GA: برای  $\lambda=0.25$  بهترین حل SA در جدول ۴ است که از مینیمم بهترین حل ها در GA-SA در جدول ۵ با مقدار 0.7710 بدتر است و برای  $\lambda=0.5$  بهترین حل SA در جدول ۴، 0.6968 است که با مینیمم بهترین حل ها در GA-SA در جدول ۵ برابر است و برای  $\lambda=0.75$  بهترین حل SA در جدول ۴، 0.6346 است که از مینیمم بهترین حل ها در GA-SA در جدول ۵ با مقدار 0.6357 بدتر است. نتیجه‌ای که از این بخش بدون در نظر گرفتن میانگین عملکرد الگوریتم‌ها می‌توان گرفت آن است که الگوریتم GA-SA عملکرد بهتری نسبت به SA داشته است.

۳- مقایسه میانگین نتایج بهترین حل ها: برای  $\lambda = 0, 25$  میانگین بهترین حل ها برای SA در جدول ۴، ۰.۷۶۷۴ است که از میانگین بهترین حل ها در GA-SA در جدول ۵ با مقدار ۰.۷۷۲۸ بدتر است و برای  $\lambda = 0, 25$  میانگین بهترین حل ها برای SA در جدول ۵ با مقدار ۰.۶۹۲۶ است که از میانگین بهترین حل ها در GA-SA در جدول ۵ با مقدار ۰.۶۹۷۲ بدتر است و برای  $\lambda = 0.25$  میانگین بهترین حل ها برای SA در جدول ۴، ۰.۶۲۰۴ است که از میانگین بهترین حل ها در GA-SA در جدول ۵ با مقدار ۰.۶۳۸۲ بدتر است. نتیجه‌ای که از این بخش بدون در نظر گرفتن درصد بهبودی که هر الگوریتم دارد می‌توان گرفت آن است که الگوریتم GA-SA عملکرد بهتری نسبت به SA داشته است.

۴- مقایسه عملکرد الگوریتم‌ها: برای  $\lambda = 0, 25$  میانگین درصد بهبود ایجاد شده در حل ها برای SA در جدول ۴، ۳۲٪ است که از میانگین درصد بهبود ایجاد شده حل ها در GA-SA با مقدار ۸۶٪ کمتر است. برای  $\lambda = 0, 5$  میانگین درصد بهبود ایجاد شده در حل ها برای SA در جدول ۴، ۳۹٪ است که از میانگین درصد بهبود ایجاد شده در حل ها در GA-SA در جدول ۵ با مقدار ۵۷٪ کمتر است. برای  $\lambda = 0, 75$  نیز میانگین درصد بهبود ایجاد شده در حل ها برای SA در جدول ۴، ۱۴٪ است که از میانگین درصد بهبود ایجاد شده در حل ها در GA-SA در جدول ۵ با مقدار ۲۰٪ کمتر است. در نتیجه الگوریتم GA-SA عملکرد بهتری نسبت به SA داشته است.

### جدول ۵: نتایج ۲۰ اجرای الگوریتم تبرید ژنتیک

میانگین تابع برازنده‌گی حل‌های اولیه (I) و میانگین تابع برازنده‌گی حل‌های نهایی (II) تابع برازنده‌گی بهترین حل در آرشیو (III) و میانگین درصد بهبود جمعیت نهایی نسبت به جمعیت اولیه (IV)

کامپونه	$\lambda=0.25$				$\lambda=0.5$				$\lambda=0.75$			
	I	II	III	IV	I	II	III	IV	I	II	III	IV
0.7643	0.7717	0.7727	0.0097	0.6919	0.6952	0.6969	0.0048	0.6185	0.6315	0.6397	0.0210	
0.7652	0.7717	0.7724	0.0085	0.6913	0.6953	0.6969	0.0058	0.6187	0.6308	0.6373	0.0196	
0.7649	0.7717	0.7728	0.0089	0.6916	0.6952	0.6972	0.0052	0.6179	0.6311	0.6380	0.0214	
0.7656	0.7718	0.7728	0.0081	0.6915	0.6954	0.6973	0.0056	0.6174	0.6311	0.6393	0.0222	
0.7648	0.7717	0.7728	0.0090	0.6912	0.6952	0.6976	0.0058	0.6184	0.6304	0.6363	0.0194	
0.7654	0.7718	0.7729	0.0084	0.6913	0.6954	0.6975	0.0059	0.6170	0.6311	0.6377	0.0229	
0.7655	0.7717	0.7729	0.0081	0.6913	0.6954	0.6971	0.0059	0.6172	0.6309	0.6407	0.0222	
0.7651	0.7718	0.7728	0.0088	0.6911	0.6953	0.6972	0.0061	0.6173	0.6310	0.6384	0.0222	
0.7652	0.7717	0.7728	0.0085	0.6915	0.6954	0.6970	0.0056	0.6160	0.6311	0.6385	0.0245	
0.7646	0.7718	0.7729	0.0094	0.6918	0.6953	0.6974	0.0051	0.6185	0.6310	0.6378	0.0202	
0.7656	0.7716	0.7730	0.0078	0.6913	0.6954	0.6974	0.0059	0.6173	0.6309	0.6385	0.0220	
0.7648	0.7718	0.7728	0.0092	0.6909	0.6953	0.6969	0.0064	0.6176	0.6309	0.6357	0.0215	
0.7647	0.7717	0.7727	0.0092	0.6913	0.6953	0.6975	0.0058	0.6188	0.6308	0.6394	0.0194	
0.7652	0.7716	0.7726	0.0084	0.6917	0.6953	0.6977	0.0052	0.6172	0.6314	0.6383	0.0230	
0.7650	0.7717	0.7727	0.0088	0.6913	0.6954	0.6974	0.0059	0.6151	0.6308	0.6371	0.0255	
0.7648	0.7717	0.7726	0.0090	0.6914	0.6952	0.6972	0.0055	0.6178	0.6308	0.6412	0.0210	
0.7655	0.7717	0.7728	0.0081	0.6915	0.6954	0.6972	0.0056	0.6175	0.6307	0.6383	0.0214	
0.7648	0.7717	0.7728	0.0090	0.6911	0.6952	0.6968	0.0059	0.6165	0.6311	0.6363	0.0237	
0.7654	0.7717	0.7725	0.0082	0.6912	0.6953	0.6969	0.0059	0.6158	0.6312	0.6368	0.0250	
0.7657	0.7717	0.7728	0.0078	0.6914	0.6953	0.6971	0.0056	0.6180	0.6314	0.6378	0.0217	
overal	=	0.7728	0.0086		0.6972		0.0057		0.6382		0.0220	

### نتیجه گیری

تعیین ترکیب مناسب برای تولید خواراک دام به عنوان مسئله اصلی تحقیق در نظر گرفته شده است. به دلیل تمرکز تحقیق بر موضوعی کاربردی، نتایج آن قابل ملاحظه خواهد بود. در گام اول پارامترهای مؤثر در تولید را با نظر سنجی از مهندسین فرآیند شناسایی کرده و سپس برای طراحی آزمایشات از طرح مرکب مرکزی باکس - ویلسون استفاده شده است. پس از انجام آزمایشات، به بررسی اثرات متقابل عوامل و تعیین متغیرهای مستقل در مسئله با استفاده از روش پیشرو پرداخته شده است. با کاربرد این روش با توجه به داشتن دو خروجی، دو مدل از متغیرهای مستقل و اثرات متقابل مؤثر برای تخمین هر خروجی به دست آورده شده است. با توجه به پیوسته بودن فضا و زمان بر بودن حل دقیق این مسئله یک الگوریتم

متاهیورستیک تلفیقی پیشنهاد شده است. با توجه به اینکه تعداد ورودی و خروجی‌ها در مسئله کم می‌باشد، این الگوریتم برای مسئله تحت بررسی به کار برده شده تا بعد از مناسب بودن، بتوان الگوریتم پیشنهادی را برای حل مسائل بزرگ نیز بکار برد. برای نشان دادن عملکرد متاهیورستیک تلفیقی پیشنهادی، عملکرد آن با متاهیورستیک دیگری با نام شبیه سازی تبرید مقایسه و در بخش تجزیه و تحلیل نتایج کارا بودن الگوریتم پیشنهادی نسبت به الگوریتم شبیه سازی تبرید نشان داده شده است. از جمله پیشنهادات آتی که می‌توان در نظر گرفت ارائه متاهیورستیک‌های مؤثر دیگر می‌باشد تا بتوان به وسیله آن نتایج به دست آمده از الگوریتم پیشنهادی را بهبود بخشد.

## منابع و مأخذ

- Chen, M.J., 2005. Optimization on response surface models for the optimal manufacturing conditions of dairy tofu. *Journal of Food Engineering*, 68 , 471–480.
- Cit coumes, C., Courtois, S., 2003. Cementation of low-level radioactive waste of complex chemistry investigation of the combined action of borate, chloride , sulfate and phosphate on cement hydration using response surface methodology. *Cement and Concrete research* , 33 , 305-316.
- Grabiec, A.M., Piasta, Z., 2004. Study on compatibility of Cement-super plasticiser assisted by multi criteria statistical optimization. *Journal of materials processing technology*, 152,197-203.
- Koksoy, O., Yalcinoz, T., 2006. Mean square error criteria to multiresponse process optimization by a new genetic algorithm. *Applied Mathematics and Computation*, 175, 1657–1674.
- Krajnik, P., 2005 . Design of grinding factors based on response surface methodology. *Journal of Materials Processing Technology* , 162–163.
- Lee, W.C., Yusof, S., Hamid, N.S.A., Baharin, B.S., 2006. Optimizing conditions for enzymatic clarification of banana juice usingresponse surface methodology (RSM). *Journal of Food Engineering*,73, 55-63.
- Myers, R.H., Montgomery, D.C., 1995. *Response Surface Methodology : Process and Product Optimization Using Designed Experiments*. John Wiley & Sons, New York, NY.
- Oktem, H., Erzurumlu, T., 2005. Application of response surface methodology in the optimization of cutting conditions for surface roughness. *Journal of Materials Processing Technology* , 170 ,11–16.
- Ozcelik, B., and Erzurumlu, T., 2006. Comparison of the warpage optimization in the plastic injection molding using ANOVA, neural network model and genetic algorithm. *Journal of Materials Processing Technology*, 171, 437–445
- Ozcelik, B., Erzurumlu, T., 2005. Determination of effecting dimensional parameters on warpage of thin shell plastic parts using integrated response surface method and genetic algorithm. *International Communications in Heat and Mass Transfer* 32 , 1085–1094
- Pasandideh, S. H. R., Akhavan, N, S. T., 2006. Multi-response simulation optimization using genetic algorithm within desirability function framework. *Applied Mathematics and Computation*, 175, 366-382.
- Shu-Kai, S., Yun-Chia Liang. F., 2006. A genetic algorithm and a particle swarm optimizer hybridized with Nelder–Mead simplex search. *Computers & Industrial Engineering* 50, 401–425
- Sin, H. N., Yusof, S., Sheikh Abdul Hamid, N., Rahman, R.A., 2006. Optimization of enzymatic clarification of saponin juice using response surface methodology. *Journal of Food Engineering*, 73, 313-319.
- Suresh, P. V. S., Venkateswara Rao, P., 2002 . A genetic algorithmic approach for optimization of surface roughness prediction model. *International Journal of Machine Tools & Manufacture* 42 , 675–680.
- Wong, P. K., Yusof, S., Mohd Ghazali, H., Che Man, Y., 2003. Optimization of hot water extraction of Roselle juice by using response surface methodology: a comparative study with other extraction methods. *Journal of the Science of Food and Agriculture*, 83, 1273–1278.
- Yusof, S., Talib, Z., Mohamed, S., Bakar, A., 1988. Use of response surface methodology in the development of guava concentrate. *Journal of Science and Food Agricultural*, 43, 173–186.